



## Experimental Evaluation of Heat Transfer of MF 285 Tractor Radiator, using Nano-fluid $Al_2O_3 + Water$

B. Rahmatinejad<sup>1</sup>, M. Abbasgholipour<sup>2\*</sup>, B. Mohammadi Alasti<sup>3</sup>

1- Department of Mechanical Engineering, Technical and Vocational University (TVU), Tehran, Iran

2- Assistant Professor, Department of Biosystem Mechanical engineering, Bonab Branch, Islamic Azad University, Bonab, Iran

3- Assistant Professor, Department of Biosystem Mechanical engineering, Bonab Branch, Islamic Azad University, Bonab, Iran

(\*- Corresponding Author Email: [Abbasgholipour@bonabiau.ac.ir](mailto:Abbasgholipour@bonabiau.ac.ir))

DOI: [10.22067/jam.2020.58870.0](https://doi.org/10.22067/jam.2020.58870.0)

Received: 19-10-2020

Revised: 22-11-2020

Accepted: 19-12-2020

Available Online: 19-12-2020

### How to cite this article:

Rahmatinejad, B., M. Abbasgholipour, and B. Mohammadi Alasti. 2022. Experimental Evaluation of Heat Transfer of MF 285 Tractor Radiator, using Nano-fluid  $Al_2O_3 + Water$ . Journal of Agricultural Machinery 12 (3): 281-299. (In Persian).

DOI: [10.22067/jam.2020.58870.0](https://doi.org/10.22067/jam.2020.58870.0)

### Introduction

More than 30% of the heat energy generated by the engine is transferred by the cooling system. If this heat transfer is not accomplished properly, then the engine heat will increase and it will wear the parts by removing oil film between the pieces. A cooling system is used to remove this heat. The radiator is an important component of this system. Increasing heat transfer in the car engine by the cooling system is possible by using two methods of changing the radiator geometry and optimizing it and using fluids with high thermal properties. In this research, we investigated the improvement of radiator thermal performance using nanofluids using a laboratory model. The effect of nanoparticle volume fraction and cooling flow rate on heat transfer rate, and heat transfer coefficient was investigated.

### Materials and Methods

In this research, a laboratory model was designed and manufactured to evaluate the thermal performance of the MF 285 tractor radiator using nanofluid. In this laboratory model, water was combined and used as a base fluid with nanoparticles  $Al_2O_3$ . 20 nm nanoparticles with volume percentages of 1 to 4% were used. An electric stirrer and magnetic stirrer were used to prepare the nanofluid. For the produced fluid to be usable, add SDBS surfactant to it. The temperature of the inlet fluid to the radiator was 85 °C and the cooling fluid flow rate was 3.18 to 15.08 ( $lit\ min^{-1}$ ) and the airflow rate was 3.2 to 6.4 ( $m\ s^{-1}$ ). Two T-type thermocouples are installed to measure the inlet and outlet temperature of the radiator and two other front and rear fans to measure the inlet and outlet air temperature and four more are installed on the radiator to measure the radiator body temperature.

### Results and Discussion

The results show that in nanofluid with a 4% volume fraction compared to a 1% volume fraction, it can be seen an increase of 8.7% in density, 7.7% in viscosity, and 9.1% in thermal conductivity, and also a decrease of 8.8% in specific heat. The maximum temperature difference between the inlet and outlet sensors of the radiator when the thermostat is open and the cooling fluid flows through the radiator is 12 to 15 °C. By increasing the speed of the electromotor from 40 Hz to 50 Hz, the temperature of the water cooling fluid at the outlet part becomes 4.7 °C cooler and the air temperature at the outlet part becomes 7.3 °C warmer. As the speed of the electromotor increases, the rate of heat transfer increases. At the maximum value of airflow and cooling fluid, by adding 4% by volume of nanoparticles to the base fluid, the rate of heat transfer can be increased about 37% compared to the base fluid. Compared to water, nanofluid containing 4% by volume of  $Al_2O_3$  at maximum speed has a 28% increase in heat transfer coefficient. Also, by increasing the electric motor speed from 20 Hz to 40 Hz, the heat transfer coefficient of pure water shows about 26% increase and the nanofluid shows an average of 29% increase.

### Conclusion

Increasing the volume fraction of nanoparticles suspended  $Al_2O_3$  in the base fluid increases the density, viscosity, and thermal conductivity, which increases the heat transfer rate and reduces the outlet temperature of the radiator. The presence of nanofluid in the engine cooling system increases the heat transfer from the radiator, and despite this feature, the size and weight of the radiator can be reduced without affecting its heat transfer

performance. It can also improve heat transfer performance by increasing the cooling flow rate and the airflow rate.

**Keywords:** Air flow speed, Fluid flow rate, Laboratory Model, Nanoparticles, Thermal performance

مقاله پژوهشی

جلد ۱۲، شماره ۳، پاییز ۱۴۰۱، ص ۲۹۹-۲۸۱

## ارزیابی تجربی انتقال حرارت رادیاتور تراکتور MF 285 با استفاده از نانوسیال $Al_2O_3 + Water$

بهمن رحمتی نژاد<sup>۱</sup>، مهدی عباسقلی پور<sup>۲\*</sup>، بهزاد محمدی الستی<sup>۳</sup>

تاریخ دریافت: ۱۳۹۹/۰۷/۲۸

تاریخ پذیرش: ۱۳۹۹/۰۹/۲۹

### چکیده

در این تحقیق به منظور بررسی عملکرد حرارتی رادیاتور تراکتور MF 285 با استفاده از نانو سیال، مدل آزمایشگاهی طراحی و ساخته شد. در این مدل آزمایشگاهی آب و اتیلن گلیکول به عنوان سیال‌های پایه با نانوذرات  $Al_2O_3$  ترکیب و مورد استفاده قرار گرفتند. از نانوذرات 20 nm با درصد‌های حجمی ۱ الی ۴ درصد استفاده شد. دمای سیال ورودی به رادیاتور حداکثر ۸۵ درجه سانتی‌گراد و سرعت جریان سیال خنک‌کننده  $(lit\ min^{-1})$  ۳/۱۸ تا  $(lit\ min^{-1})$  ۱۵/۰۸ و سرعت جریان هوا از  $(m\ s^{-1})$  ۳/۲ تا  $(m\ s^{-1})$  ۶/۴ متغیر بود. نتایج نشان داد افزایش سرعت جریان مایع خنک‌کننده و سرعت جریان هوا می‌تواند عملکرد انتقال حرارت را بهبود دهد همچنین افزایش کسر حجمی نانوذرات در سیال پایه موجب افزایش نرخ انتقال حرارت و کاهش دمای خروجی می‌گردد. بنابراین با افزایش دور الکتروموتور از ۲۰ Hz به ۴۰ Hz ضریب انتقال حرارت آب خالص به طور متوسط ۲۶٪ و نانو سیال ۲۹٪ افزایش را نشان می‌دهد. با افزودن ۴ درصد حجمی نانوذرات به سیال پایه می‌توان نرخ انتقال حرارت را به طور متوسط ۳۷٪ و ضریب انتقال حرارت جابه‌جایی را ۲۸٪ نسبت به سیال پایه افزایش داد.

**واژه‌های کلیدی:** سرعت جریان سیال، سرعت جریان هوا، عملکرد حرارتی، مدل آزمایشگاهی، نانوذرات

### مقدمه

مشخص رسیدن ترموستات اجازه ورود آب گرم را به رادیاتور می‌دهد. دمای آب از بدنه رادیاتور به روش هدایتی و از سطح آن به هوای اطراف به روش جابه‌جایی منتقل می‌شود. افزایش انتقال حرارت در موتور خودرو به وسیله سیستم خنک‌کاری (رادیاتور خودرو) با استفاده از دو روش تغییر هندسه رادیاتور و بهینه‌سازی آن و استفاده از سیالاتی با خواص حرارتی بالا امکان‌پذیر است. تحقیقاتی در زمینه ایجاد تنوع هندسی در رادیاتور با استفاده از فین‌ها یا لوله‌های مختلف با سطوح زبر و صاف انجام شده است. اگرچه طراحی ساختار هندسی مناسب می‌تواند باعث افزایش انتقال حرارت شود ولی به علت محدودیت‌های فضا و کاربری خاص رادیاتور، تغییر ساختار هندسی چندان کارآمد نمی‌باشد. بنابراین استفاده از سیالات با انتقال حرارت بالا توصیه می‌شود. علاوه بر این، افزایش حرارت در رادیاتور خودرو با استفاده از سیالات آب به همراه اتیلن گلیکول به عنوان ضدیخ به علت ضریب انتقال حرارت پایین امکان‌پذیر نبوده و استفاده از سیالاتی با ضریب انتقال حرارتی بالاتر، متخصصین را بر آن داشته تا به دنبال سیالاتی با ویژگی‌های مناسب بروند (Peyghambarzadeh et al., 2011a). یکی از آثار طراحی آیرودینامیکی خودروها، کوچک شدن فضای جلوی خودروها و محدودیت هندسی چیدمانی اجزای سیستم خنک‌کننده است که نتیجه آن، کاهش فاصله میان رادیاتور، موتور و فن می‌باشد. کاهش این فاصله موجب می‌شود تا جریان هوای خروجی از فن به صورت شعاعی حرکت کند و از آن‌جا که نوع فن در

احتراق مخلوط سوخت و هوا در موتورهای احتراق داخلی تولید قدرت نموده که بخشی از آن مفید بوده و بخش دیگر آن توسط سیستم خنک‌کننده و آگزوز تلف می‌شود. تقاضا برای موتورهای قدرتمند در فضای کوچک‌تر موتور و سیستم‌های خنک‌کاری مشکلاتی در میزان تلفات گرما در رادیاتور خودرو به وجود آورده است. بیش از ۳۰ درصد انرژی حرارتی تولید شده موتور توسط سیستم خنک‌کاری منتقل می‌شود. و در صورتی که این انتقال حرارت به درستی صورت نگیرد گرمای موتور افزایش یافته و با از بین رفتن فیلم روغن بین قطعات باعث ساییدگی قطعات می‌شود. برای از بین بردن این حرارت از سیستم خنک‌کننده استفاده می‌شود. رادیاتور جزء مهمی از این سیستم است. زمانی که سیال خنک‌کننده از میان موتور حرکت می‌کند گرمای تولید شده در آن را جمع نموده و زمانی که به یک حد

۱- گروه مهندسی مکانیک، دانشگاه فنی و حرفه‌ای، تهران، ایران

۲- استادیار گروه مهندسی مکانیک بیوسیستم، واحد بناب، دانشگاه آزاد اسلامی، بناب، ایران

۳- استادیار گروه مهندسی مکانیک بیوسیستم، واحد بناب، دانشگاه آزاد اسلامی، بناب، ایران

(\*- نویسنده مسئول: Email: [Abbasgholipour@bonabiau.ac.ir](mailto:Abbasgholipour@bonabiau.ac.ir))

DOI: 10.22067/jam.2020.58870.0

جریان ورودی رادیاتور، به شدت عملکرد حرارتی آن را کاهش می‌دهد (Chiou, 1980). لونگ و همکاران در سال ۲۰۱۰ ویژگی‌های انتقال حرارت و افت فشار رادیاتور ماشین را با استفاده از نانوذرات مس در اتیلن گلیکول به‌عنوان خنک‌کننده بررسی کردند. آن‌ها اثر کسر حجمی نانوذرات مس و تاثیر عدد رینولدز هوا و خنک‌کننده را بر روی عملکرد حرارتی رادیاتور و نیز افت فشار خنک‌کننده و توان پمپ بررسی کردند و نتیجه گرفتند که شدت انتقال حرارت با افزایش غلظت حجمی نانوسیالات زیاد می‌شود. علاوه بر این عملکرد حرارتی رادیاتور با استفاده از نانوسیال با خنک‌کننده اتیلن گلیکول با اعداد رینولدز هوا و خنک‌کننده افزایش می‌یابد. همچنین گزارش کردند حدود ۱۲/۱۳ درصد افزایش در توان پمپ در غلظت ۲ درصد نانوذرات مس در دبی حجمی ۰/۲ متر مکعب بر ثانیه نسبت به سیال پایه لازم است (Leong et al., 2010). پیغمبرزاده و همکاران در سال ۲۰۱۱ میلادی نانوذرات اکسید آلومینیوم را به آب خالص در یک نمونه رادیاتور خودرو پراید اضافه کردند. با توجه به نتایج آن‌ها با جایگزین کردن نانوسیال به‌جای آب خالص، ضریب انتقال حرارت سیال خنک‌کننده ۴۵ درصد افزایش یافت (Peyghambarzadeh et al., 2011a). پیغمبرزاده و همکاران در سال ۲۰۱۱ در تحقیق دیگری نانو ذرات اکسید آلومینیوم را به مخلوط آب و اتیلن گلیکول اضافه کردند. با توجه به نتایج آن‌ها با افزودن یک درصد نانوذرات اکسید آلومینیوم به مخلوط آب و اتیلن گلیکول، میزان ضریب انتقال حرارت سیال خنک‌کننده ۴۰ درصد افزایش یافت (Peyghambarzadeh et al., 2011b). راجا و همکاران در سال ۲۰۱۶ به بررسی بر مشخصات نانوسیال‌ها، مشخصات انتقال حرارتی و کاربردهای آن پرداختند. آن‌ها مطالعات اخیر محققان را بررسی نمودند و متوجه شدند جنبه‌های مختلف نانوسیال‌ها از جمله رسانایی گرمایی، ویسکوزیته، مطالعات تجربی، مطالعات عددی انتقال حرارت و کاربردهای نانوسیال‌ها مورد توجه بوده است (Raja et al., 2016). بزرگ بیگدلی و همکاران در سال ۲۰۱۶ میلادی به بررسی بر انتقال پدیده انتقال حرارت و جرم نانو سیال خنک‌کننده با تمرکز ویژه برای استفاده در خودرو پرداختند. آن‌ها نشان دادند که تعلیق مهندسی نانوذرات (نانوسیال) می‌تواند مشخصه خواص حرارتی را افزایش دهد. با توجه به افزایش نیاز به سیستم‌های خنک‌کننده عملکرد فوق‌العاده بالا، اخیراً نانوسیال‌ها به‌عنوان ماده سردکننده رادیاتور ماشین شناخته می‌شوند. با این حال طبیعت چند مقیاسی نانوسیال دلالت بر روابط کوچک اما با اهمیت بین ویژگی‌های طراحی، در نتیجه خواص فیزیکی حرارتی که کاملاً شناخته شده نیست می‌باشد (Bozorg Bigdeli et al., 2016). حیدریگی در تحقیقی به بررسی تاثیر استفاده از نانوسیال مس، نانوسیال نقره و اکسید آلومینیوم بر میزان انتقال حرارت رادیاتور موتور تراکتور مسی فرگوسن ۲۸۵ پرداخته و نشان داد در شرایط کاری

سیستم خنک‌کاری خودرو غالباً جریان محوری است، این شرایط سبب می‌شود تا فن در حالتی غیر از شرایط طراحی کار کند. به همین جهت، طراحی بهینه‌ی سیستم خنک‌کاری خودرو اهمیت ویژه‌ای دارد. صبرعلیلو و همکاران شدت صوت پروانه محوری رادیاتور تراکتور در تونل باد را اندازه‌گیری کرده و با نتایج عددی حاصل از شبیه‌سازی دینامیک سیالات محاسباتی مقایسه کردند (Sabralilou, 2020). تاکنون مطالعات تجربی و تئوری گسترده‌ای جهت افزایش هدایت حرارتی سیال با استفاده از ذرات معلق بسیار ریز انجام شده که به‌عنوان راهکار جدیدی جهت افزایش انتقال حرارت شناخته شده است. در این راستا ماکسول در سال ۱۹۸۱ تحقیقاتی در این زمینه انجام داد که در آن ذرات افزودنی به سیال در مقیاس میلی‌متر و میکرومتر بود (Maxwell, 1891). این روش دارای مشکلاتی، از جمله ته‌نشین شدن ذرات، کند شدن جریان سیال، ساییدگی لوله‌ها و افت فشار شدید جریان بود. در مقابل میکروذرات، نانوذرات به دلیل نسبت سطح به حجم بالا، این مشکلات را نداشت. افزودن مواد فلزی با ابعاد نانومتر به سیال عامل معمولی مانند آب، اتیلن گلیکول و روغن صنعتی، نخستین بار توسط چوی پیشنهاد شد (Choi, 1995). داس و همکاران به بررسی جامع از مطالعات انجام شده در زمینه کاربرد نانوسیالات درون مبدل‌های حرارتی برای به‌دست آوردن یک تئوری جامع پرداختند. در این تحقیق رفتار حرارتی نانو ذرات درون سیالات پایه بررسی شد و دریافتند که نانو سیال‌ها هدایت حرارتی را به میزان قابل توجهی افزایش می‌دهد (Das et al., 2006). محققین متعددی در زمینه‌ی بررسی رفتار حرارتی رادیاتورها در سیستم خنک‌کننده‌ی خودرو، تحقیق نموده‌اند. گیفورد و همکاران تاثیر اجزای پایین‌دست فن، نظیر موتور را بر روی فن‌های محوری در سیستم خنک‌کاری خودرو مورد بررسی قرار داده و مشخص نمودند که اجزای پایین دست فن، در افزایش افت فشار و در نتیجه، کاهش دبی جریان، نقش موثری دارند (Gifford et al., 2006). اولایت و همکاران با توسعه یک مدل ریاضی دقیق برای مبدل حرارتی، تاثیر پارامترهای مختلف، نظیر دبی جریان عبوری از رادیاتور را بر روی عملکرد سیستم خنک‌کاری به‌صورت عددی بررسی نموده و نشان دادند که با افزایش دبی هوای عبوری، ظرفیت خنک‌کنندگی افزایش می‌یابد. به‌صورتی که گرادیان منحنی ظرفیت خنک‌کنندگی با افزایش دبی کاهش پیدا می‌کند (Oliet et al., 2007). موریس و همکاران با استفاده از جریان‌سنج سیم داغ، توزیع سرعت در پایین دست فن را در یک سیستم خنک‌کاری خودرو اندازه‌گیری نموده و نشان دادند که جریان خروجی فن، چرخشی بوده و در اطراف توپی و پره، پروفیل جریان کاملاً متفاوت می‌باشد (Morris et al., 1998). چپو تاثیر غیریکنواختی جریان را بر میزان انتقال حرارت در سیستم خنک‌کاری خودرو مورد مطالعه قرار داده و نشان داد غیریکنواختی سرعت در

بررسی تحت شرایط آماده‌سازی اولیه قرار گرفت بدین منظور از ساده‌ترین روش آماده‌سازی نمونه‌ها، یعنی روش خرد کردن استفاده شد. پس از آن، با تهیه سوسپانسیون مایع از ذرات و رسوب دادن بر روی گرید، برای انجام مطالعات توسط میکروسکوپ الکترونی عبوری نمونه ارسال گردید.

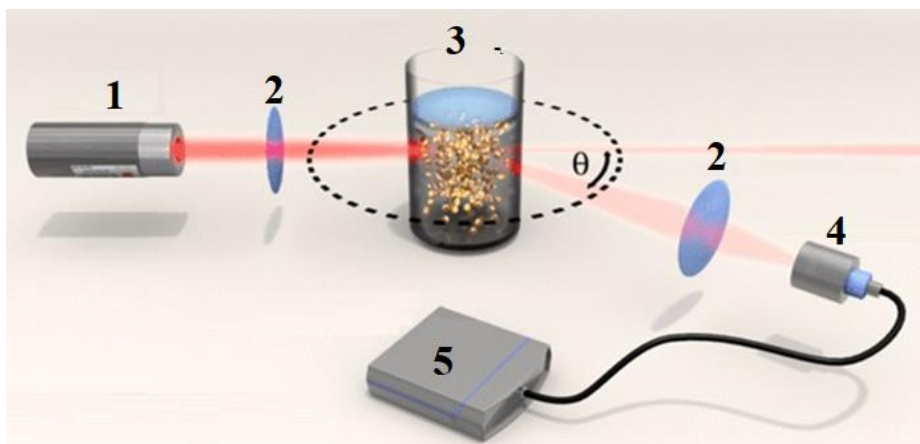
برای اندازه‌گیری قطر نانوذرات از روش پراکنش نور استفاده شد. در این روش یک پرتو لیزر به سوسپانسیون تابانده می‌شود و پراکنندگی نور لیزر توسط یک آشکارساز نوری ثبت می‌شود. ذرات با اندازه‌های مختلف، نور را به صورت‌های مختلفی پراکنده می‌کنند. ذرات بزرگ‌تر، نور را در زوایای کوچک‌تری پراکنده می‌کنند، در حالی که ذرات کوچک‌تر، در محدوده زوایای وسیع‌تری نور را پراکنده می‌سازند. پراکنندگی نور توسط ذرات جامد باعث ایجاد یک الگو از نقاط روشن و تاریک روی آشکارساز می‌شود. این الگوهای روشن و تاریک با حرکت ذرات تغییر می‌کنند و باعث می‌شوند که الگوی ایجاد شده با زمان تغییر کند. نرم‌افزار دستگاه DLS با بررسی تغییرات این الگو با زمان می‌تواند توزیع اندازه ذرات را مشخص کند. ذرات بزرگ‌تر سرعت کمتری در محلول نسبت به ذرات کوچک‌تر دارند. از این رو تغییرات الگوی پراش در سوسپانسیونی با ذرات بزرگ‌تر کندتر از سوسپانسیونی با ذرات ریزتر تغییر می‌کند.

موتور و شرایط مزرعه‌ای شخم با گاوآهن به عمق ۲۰ سانتی‌متر انتقال حرارت با غلظت‌های ۸ و ۱۲ درصد از نانوسیال مس و نقره و دی‌اکسید آلومینیوم به ترتیب ۱۶، ۳۲، ۱۱/۳ و ۱۳ درصد افزایش یافت (Heydarbeigi, 2017). در تحقیق حاضر به کمک مدل آزمایشگاهی طراحی شده ارزیابی انتقال حرارت بر روی رادیاتور تراکتور MF 285 با استفاده از نانوسیال  $Al_2O_3 + Water$  با دو روش نظری و تجربی انجام شد. نظر به این که تاکنون برای بررسی انتقال حرارت رادیاتور مسی فرگوسن ۲۸۵ از مدل آزمایشگاهی استفاده نشده است تحقیق حاضر انجام گرفت. بی‌شک بررسی مقدار انتقال حرارت بر روی مدل آزمایشگاهی و شرایط محیطی ثابت باعث استخراج اطلاعات دقیق انتقال حرارت خواهد شد.

## مواد و روش‌ها

### تهیه نانو سیال

در این تحقیق ابتدا نانوذرات  $Al_2O_3$  توسط دستگاه PNC1k-C شرکت پیام‌آوران نانو فن‌آوری فردانگر به روش انفجار الکتریکی سیم به صورت نانوکلئیدهای فلزی تولید شد. برای عکس‌برداری از نانوذرات از میکروسکوپ الکترونی عبوری مدل H9500 شرکت HITACHI استفاده شد. برای دستیابی به نتایج مطلوب نمونه مورد



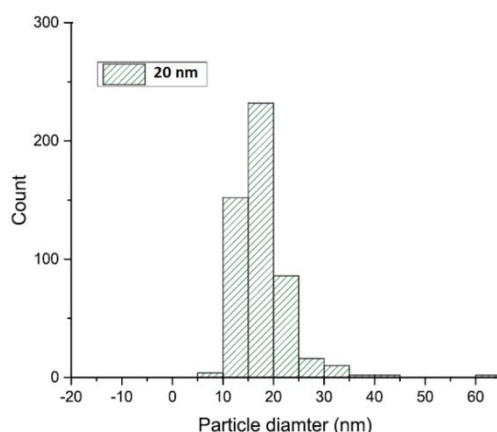
شکل ۱- اندازه‌گیری قطر نانو ذرات به روش DLS

Fig.1. Measurement of nanoparticle diameter by DLS method

$$d_H = \frac{KT}{3\pi\eta D} \quad (1)$$

$d_H$ : قطر هیدرودینامیکی ذره،  $K$ : ثابت بولتزمن،  $\eta$ : ویسکوزیته دینامیکی حلال است که به دما وابسته بوده و به چگالی و فشار سیستم مرتبط نیست،  $T$ : دمای مطلق و  $D$ : ضریب نفوذ است (Pecora, 1985). در شکل ۲ هیستوگرام اندازه‌گیری قطر ذرات آورده شده است.

اجزای سیستم اندازه‌گیری قطر نانو ذرات به روش DLS مطابق شکل ۱ به ترتیب نشان‌دهنده‌ی: ۱- لیزر، ۲- عدسی، ۳- نمونه، ۴- آشکارگر و ۵- ارتباط‌سنج می‌باشد. ارتباط بین اندازه ذرات و سرعت حرکت براونی توسط رابطه استوکس انیشتین برقرار می‌شود (رابطه ۱).



شکل ۲- هیستوگرام اندازه‌گیری قطر نانو ذرات  $AL_2O_3$

Fig.2. The measurement histogram the diameter of nanoparticles  $AL_2O_3$

کارهای مهندسی مناسب باشد از ۱٪ وزنی مواد فعال‌کننده سطحی (سدیم دودسیل بنزن سولفونات) استفاده شد. مشخصات مواد فعال‌کننده سطحی در جدول ۱ آورده شده است.

برای تهیه نانوسیال از یک هم‌زن برقی با قابلیت تنظیم دور از ۲۰۰ تا ۳۰۰۰ دور در دقیقه استفاده شد. و سپس از یک تکان‌دهنده مغناطیسی با سرعت ۱۰۰ تا ۲۰۰۰ دور در دقیقه و قدرت گرمایش ۴۰۰W استفاده شد. به‌منظور حفظ پایداری محلول برای این که برای

#### جدول ۱- مشخصات مواد فعال‌کننده سطحی

Table 1- Specifications of surfactants

دانشیه Density ( $g \cdot cm^{-3}$ )	وزن مولکولی Molecular Weight ( $g \cdot mol^{-1}$ )	ساختار فرمولی Formula structure	فرمول مولکولی Molecular formula	ماده فعال سطحی Surfactant
1.02	348.48		$C_{18}H_{29}NaO_3S$	سدیم دودسیل بنزن سولفونات Sodium dodecyl benzene (Kong and Bao, 2017) sulfonate

و همچنین بررسی سرعت پروانه خنک‌کننده در یک موتور، ابتدا طرحواره‌ای از آن در (شکل ۳) طراحی شد.

سپس براساس طرحواره طراحی شده اقدام به ساخت نمونه اولیه آزمایشگاهی جهت بررسی انتقال حرارت رادیاتور شد. دستگاه ساخته شده دارای یک مخزن، المنت گرمکن، پمپ گریز از مرکز، فلومتر، ترموستات و محل نشیمنگاه آن، شیرهای کنترل جریان، فن، ترموکوپل‌های اندازه‌گیری دما، رادیاتور، الکتروموتور سه فاز (دور حداکثر ۱۳۸۵ RPM)، اینورتر، ترموستات گرمایی و لامپ پیلوت می‌باشد (شکل ۴)

جرم نانو ذرات ( $m_p$ ) و جرم سیال پایه ( $m_f$ ) با دقت ( $0.1/$  gr) اندازه‌گیری شد برای تخمین درصد وزنی از رابطه (۲) می‌توان استفاده نمود (Das et al., 2003).

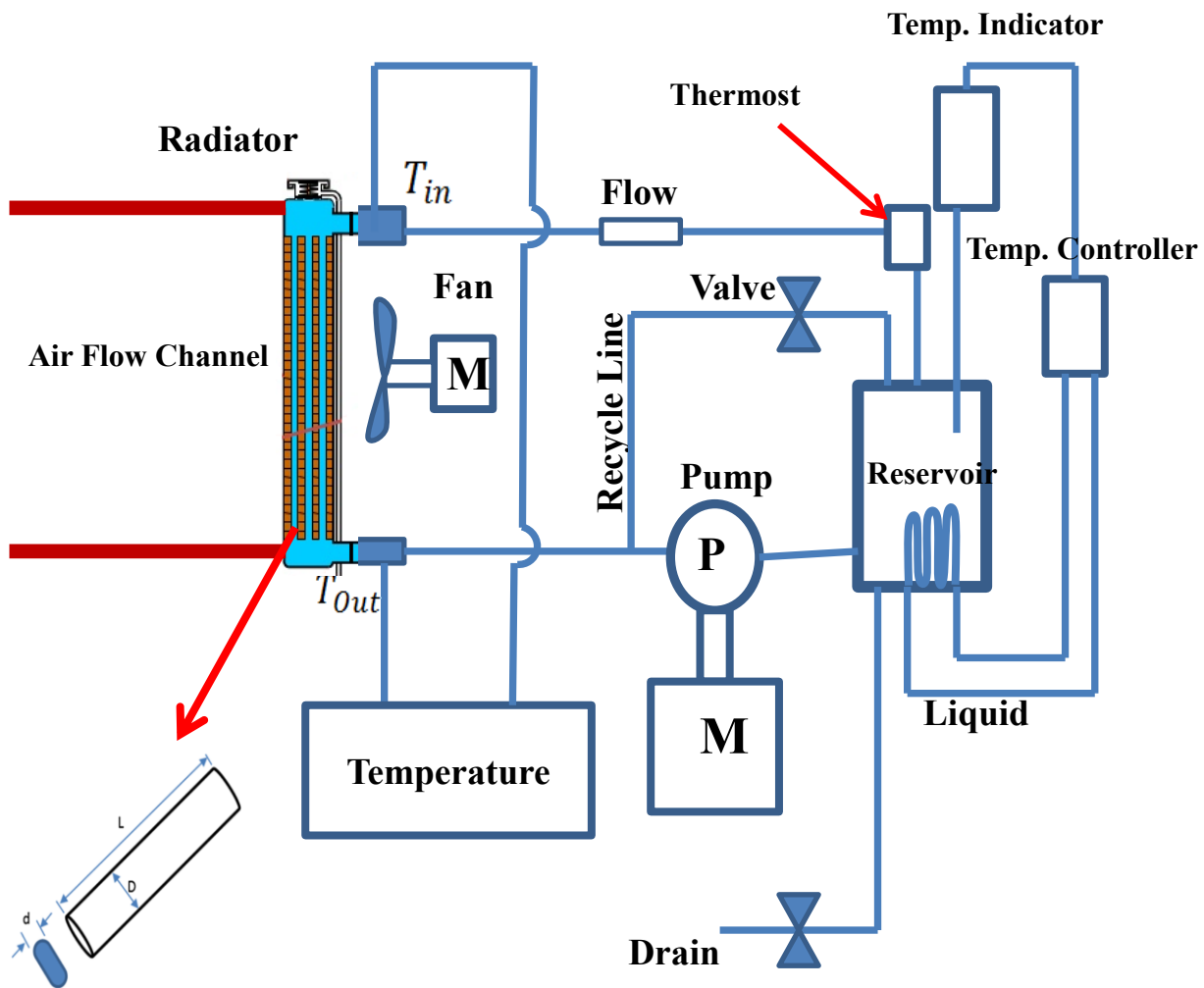
$$\phi = \left( \frac{m_p}{m_p + m_f} \right) \times 100 \quad (2)$$

اگر چگالی نانو ذرات را ( $\rho_p$ ) و چگالی سیال پایه را با ( $\rho_f$ ) نشان دهیم می‌توان از رابطه (۳) درصد حجمی نانو ذرات ( $\Phi$ ) در ۲۵ درجه سانتی‌گراد را برآورد نمود (Wang and Leon, 2010).

$$\Phi = \frac{\frac{\rho_p}{m_p}}{\frac{\rho_p}{m_p} + \frac{\rho_f}{m_f}} \quad (3)$$

#### تشریح دستگاه آزمایش

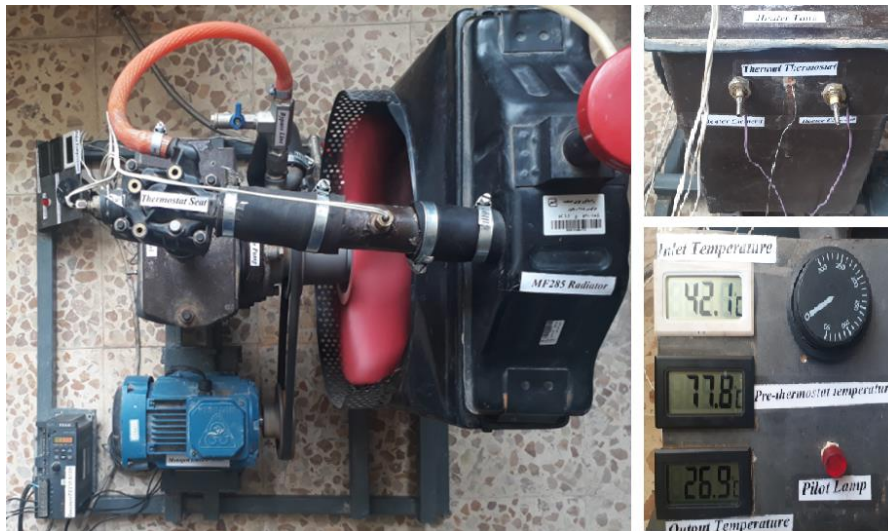
به‌منظور ساخت یک مدل آزمایشگاهی جهت تست مقدار انتقال حرارت در رادیاتور با سیال‌های متفاوت و در دبی سیال‌های مختلف



شکل ۳- شماتیک سیستم طراحی شده  
 Fig.3. Schematic of designed system

دبی سنج پیستونی PD - SDC برای اندازه‌گیری دبی استفاده شد. از دو عدد ترموکوپل نوع T برای اندازه‌گیری دمای ورودی و خروجی به رادیاتور و دو عدد دیگر جلو و عقب فن برای اندازه‌گیری دمای هوای ورودی و خروجی و ۴ عدد دیگر بر روی رادیاتور نصب شد تا دمای بدنه رادیاتور اندازه‌گیری شود. با توجه به هدایت حرارتی بالای مس و ضخامت کم لوله‌ها می‌توان دمای بیرون و داخل لوله‌ها را یکسان فرض نمود. کالیبراسیون ترموکوپل‌ها انجام شد و دقت اندازه‌گیری:  $\pm 1^\circ\text{C}$  (0 to  $150^\circ\text{C}$ ) برآورد گردید. مشخصات رادیاتور استفاده شده در این تحقیق در جدول ۲ آورده شده است.

حجم کل مایع در گردش ۱۰ lit است و در کل مراحل آزمایش ثابت می‌باشد. برای این که پمپ گریز از مرکز و فن بتواند دوره‌های متغیر داشته باشد الکتروموتور سه فاز که محرک پمپ می‌باشد با یک اینورتر راه‌اندازی می‌شود. با توجه به اندازه مخزن و مقدار انرژی مورد نیاز از دو عدد گرمکن ۶۰۰۰ W استفاده شد. برای اطمینان از این که دما از یک حدی بالاتر نرود از یک ترموستات گرمایی داخل مخزن استفاده شد. برای ثابت نگه داشتن دمای سیال ورودی به رادیاتور بین ۴۰ الی ۸۵ درجه سانتی‌گراد از یک PID کنترلر استفاده شد. این کنترل‌کننده دما را روی Set Point ثابت نگه می‌دارد. از ترموکوپل قبل از ترموستات برای ورودی PID کنترلر استفاده شد. از



شکل ۴- مدل آزمایشگاهی ساخته شده

Fig.4. Made laboratory model

جدول ۲- مشخصات رادیاتور استفاده شده در این تحقیق

Table 2- Specifications of the radiator used in this research

جنس مخزن رادیاتور Radiator tank material	جنس شبکه رادیاتور Radiator network material	تعداد ردیف لوله رادیاتور Number of rows of radiator pipes	سایز لوله رادیاتور Radiator pipe size	اندازه شبکه رادیاتور Radiator grille size	نام محصول Product name
ورق برنجی Brass sheet CuZn30	مسی - برنجی Copper-brass CuSn	۶ ردیف 6 rows	12.5 mm	487 × 380 × 50	رادیاتور تراکتور مسی فرگوسن MF 285 Messi Ferguson Tractor Radiator MF 285

استفاده می‌کنند (Xiang and Arun, 2008).

(۵)

$$\begin{aligned}
 (\rho C_p)_{eff} &= \rho_{eff} \left( \frac{Q}{m \Delta T} \right)_{eff} = \rho_{eff} \frac{Q_b + Q_p}{(m_b + m_p) \Delta T} \\
 &= \rho_{eff} \frac{(m C_p)_b \Delta T + (m C_p)_p \Delta T}{(m_b + m_p) \Delta T} \\
 &= \rho_{eff} \frac{(\rho C_p)_b V_b + (\rho C_p)_p V_p}{\rho_b V_b + \rho_p V_p} \\
 &= (1 - \phi_p) (\rho C_p)_b + \phi_p (\rho C_p)_p
 \end{aligned}$$

که می‌تواند به صورت رابطه (۶) نوشته شود.

$$C_{p,eff} = \frac{(1 - \phi_p) (\rho C_p)_b + \phi_p (\rho C_p)_p}{(1 - \phi_p) \rho_b + \phi_p \rho_p} \quad (۶)$$

$C_{p,eff}$  گرمای ویژه فشار ثابت نانو سیال، اندیس P برای نانوذرات و اندیس b برای سیال پایه است. پارامترهایی چون حجم نانوذرات، اندازه و شکل آن‌ها، سیال پایه، ضخامت نانولایه، تکنیک‌های پراکندگی، دما و مقدار pH و حرکت بروانی نانوذرات در تعیین ویسکوزیته دینامیکی نانو سیال نقش دارند (Masuda et al.,

### خواص ترموفیزیکی نانو سیال

با فرض این که نانو ذرات به خوبی درون سیال پایه پخش شده باشد و غلظت ذرات در کل سیستم یکنواخت باشد خواص فیزیکی موثر مخلوط‌های مورد مطالعه را می‌توان با استفاده از برخی فرمول‌های کلاسیک که معمولاً برای مایعات دو فاز استفاده می‌شود را به دست آورد. از این روابط برای پیش‌بینی خصوصیات نانو سیالات مانند چگالی، گرمای ویژه، ویسکوزیته دینامیکی و هدایت حرارتی در دماها و غلظت‌های مختلف استفاده شده است. در این مقاله از روابط زیر برای نانو سیال استفاده شده است.

بر اساس رابطه (۴) دانسیته یا چگالی نانو سیالات بر اساس قانون مخلوط‌ها از رابطه پاک و چو محاسبه می‌کنند (Pak and Cho, 1998).

$$\rho_{eff} = \left( \frac{m}{V} \right)_{eff} = \frac{m_b + m_p}{V_b + V_p} = \frac{\rho_b V_b + \rho_p V_p}{V_b + V_p} = (1 - \phi_p) \rho_b + \phi_p \rho_p \quad (۴)$$

$\rho_{eff}$  چگالی نانو سیال،  $V_b$  حجم سیال پایه و  $V_p$  حجم نانوذرات است. اکثر محققان از رابطه (۵) جهت تعیین ظرفیت گرمایی ویژه



ضریب هدایت حرارتی نانوسیال پیشنهاد شده است. که از میان این تئوری‌ها مدل ماکسول-گارنت (Maxwell Garnett, 1904) که تطابق خوبی با داده‌های تجربی دارد (Nisar, 2019) برای این تحقیق در نظر گرفته شد (رابطه ۸).

$$\frac{K_{nf}}{K_f} = \frac{(K_p + 2K_f) - 2\phi(K_f - K_p)}{(K_p + 2K_f) + \phi(K_f - K_p)} \quad (8)$$

$\phi$  کسر حجمی ذرات نانو،  $\rho$  دانسیته، اندیس  $p$  نشان‌دهنده‌ی نانوذرات،  $b$  نشان‌دهنده‌ی سیال پایه و  $nf$  نشان‌دهنده‌ی نانو سیال می‌باشد.

ویژگی‌های فیزیکی  $Al_2O_3$  و سیال پایه استفاده شده در این تحقیق در جدول ۳ آورده شده است. در این تحقیق از نانوذرات کروی  $20 \text{ nm}$  با درجه خلوص  $+99\%$  درصد استفاده شد.

1993; Turgut et al., 2009; Bahiraei et al., 2012; Fan et al., 2008; Ghadimi and Metselaar, 2013; Yiamsawas et al., 2013). مدل‌های تئوری مختلفی برای محاسبه ویسکوزیته دینامیکی نانوسیالات ارائه شده اند از میان این مدل‌ها از رابطه انیشتین برای محاسبه ویسکوزیته استفاده شد (Einstein, 1906) این رابطه برای نانو ذرات کروی و درصد حجمی‌های پایین پیشنهاد شده است (رابطه ۷).

$$\mu_{nf} = \mu_f(1 - 2.5\phi) \quad (7)$$

$\phi$  کسر حجمی ذرات نانو،  $\mu_f$  ویسکوزیته دینامیکی سیال پایه و  $\mu_{nf}$  ویسکوزیته دینامیکی نانوسیال می‌باشد.

تئوری‌های مختلفی از جمله تئوری ماکسول، مدل همیلتون-کراسر، ماکسول-گارنت، براگمن و غیره برای محاسبه

جدول ۳- خواص ترموفیزیکی سیال پایه و نانو ذرات (Wen et al., 2009)

Table 3- Thermophysical properties of base fluid and nanoparticles (Wen et al., 2009)

خاصیت Properties	واحد Unit	$Al_2O_3$	اتیلن گلیکول Ethylene glycol	آب Water
گرمای ویژه (Specific heat)	$c_p(Jkg^{-1}K^{-1})$	765	2420.6	4179
چگالی (Density)	$\rho(kgm^{-3})$	3970	1110.2	997.1
ضریب هدایت حرارتی (Thermal conductivity coefficient)	$K(Wm^{-1}k^{-1})$	40	0.253	0.613
ضریب $\beta$ (β Coefficient)	$\beta \times 10^{-5}(k^{-1})$	0.85	57	21

که در آن  $\eta = \frac{N}{m}$  و  $N$  یک خاصیت گسترده (مانند جرم، انرژی یا مومنتم) سیستم است. همچنین پایین نویس  $CV$  برای حجم کنترل و  $CS$  برای سطح کنترل استفاده می‌شود.

حال اگر با توجه به معادله انتقال رینولدز معادله پیوستگی را بنویسیم یعنی به جای  $N$  از جرم  $m$  استفاده کنیم رابطه (۱۴) حاصل می‌شود.

$$\frac{dm}{dt} = \frac{\partial}{\partial t} \int_{cv} \rho dV + \int_{cs} \rho V dA = 0 \quad (14)$$

این معادله بیان می‌کند که نرخ افزایش جرم داخل حجم کنترل به‌علاوه نرخ خالص خروجی جرم از سطح کنترل صفر است. چون جریان دائمی در لوله داریم پس دبی جرمی خالص خروجی از سطح کنترل صفر است (رابطه ۱۵)

$$\int_{cs} \rho V dA = 0 \quad (15)$$

برای جریان دائمی در یک لوله جریان، معادله پیوستگی بین دو مقطع از رابطه (۱۶) به‌دست می‌آید (White, 2002).

$$m^0 = \rho_1 V_{av1} A_1 = \rho_2 V_{av2} A_2 \Rightarrow m^0 = \rho_1 Q_1 = \rho_2 Q_2 \quad (16)$$

چون  $A_1 = A_2$  است و سیال در کل سیکل ثابت است پس در حالت کلی میزان جرم جریان خنک‌کننده از رابطه (۱۷) به‌دست می‌آید.

### تجزیه و تحلیل داده‌های تجربی

بر اساس قانون سرمایش نیوتن انتقال حرارت جابه‌جایی از رابطه (۹) به‌دست می‌آید (Hussein et al., 2014).

$$Q = hA\Delta T = hA(T_b - T_w) \quad (9)$$

که در آن  $Q$  گرمای منتقل شده،  $A$  مساحت لوله‌ها،  $\Delta T$  اختلاف دما و  $T_b$  دمای کلی می‌باشد. که  $T_b$  از رابطه (۱۰) به‌دست می‌آید.

$$T_b = \frac{T_{in} + T_{out}}{2} \quad (10)$$

$(T_{out}, T_{in})$  دمای ورودی و خروجی می‌باشد و  $T_w$  دمای لوله‌ها می‌باشد که از طریق چهار عدد ترموکوپل و توسط رابطه (۱۱) به‌دست می‌آید.

$$T_w = \frac{1}{a} \sum_{i=1}^a T_i \quad (11)$$

و میزان انتقال حرارت از رابطه (۱۲) به‌دست می‌آید.

$$Q = m^0 \times c_p \times (T_{in} - T_{out}) \quad (12)$$

در این رابطه  $Q$  گرمای منتقل شده،  $c$  گرمای ویژه و  $m^0$  دبی جرمی جریان می‌باشد.

برای به‌دست آوردن دبی جرمی نیاز است ابتدا معادله رینولدز با توجه به رابطه (۱۳) برای سیستم نوشته شود (White, 2002):

$$\left(\frac{dN}{dt}\right)_{system} = \frac{\partial}{\partial t} \int_{cv} \eta \rho dV + \int_{cs} \eta \rho V dA \quad (13)$$

$$Re = \frac{\rho \times D_H \times u}{\mu} \quad (23)$$

$u$  سرعت سیال در قسمت ورودی رادیاتور است که با توجه به دبی ( $Q$ ) و سطح مقطع لوله رادیاتور ( $A$ ) از رابطه (۲۴) به دست می‌آید.

$$u = \frac{Q}{A} \quad (24)$$

ضریب اصطکاک ( $f$ ) با توجه به  $\Delta P$  به دست آمده از مانومتر از رابطه (۲۵) به دست می‌آید.

$$f = \frac{2 \times \Delta P}{D_H \times \rho \times u^2} \quad (25)$$

ضریب اثربخشی  $\mathcal{E}$  برای رادیاتور از رابطه (۲۶) به دست می‌آید.

$$\mathcal{E} = \frac{(m c_p)_h (T_{in} - T_{out})}{(m c_p)_c (T_{in} - T_{air})} \quad (26)$$

در این رابطه  $h$  و  $c$  به ترتیب سیال گرم و سرد را توصیف می‌کند و  $T_{air}$  دمای محیط را نشان می‌دهد.

## نتایج و بحث

### بررسی زمان ته‌نشینی

برای بررسی زمان ته‌نشینی آزمایش عکس برداری از رسوب انجام گرفت نتایج نشان از پایداری  $Al_2O_3$  در ۲۲ روز اول بود و بعد از آن کم کم ته‌نشینی آغاز می‌شود (شکل ۵). نکته قابل ذکر آن است که در این مرحله اگر از هم‌زن برقی و تکان دهنده مغناطیسی دوباره استفاده شود مخلوط حالت سوسپانسیونی خود را دوباره به دست می‌آورد. نتایج به دست آمده با منبع (Kouloulis, 2016) ارزیابی و مورد تایید قرار گرفت.

$$m^0 = \rho \times Q \quad (17)$$

در این رابطه  $m^0$  دبی جرمی با واحد  $(kg S^{-1})$ ،  $\rho$  چگالی با واحد  $(kg m^{-3})$  و  $Q$  دبی حجمی با واحد  $(m^3 s^{-1})$  می‌باشد.

ضریب انتقال حرارت جابه‌جایی (رابطه ۱۸) از تساوی دو رابطه (۹) و (۱۲) به دست می‌آید.

$$h_{exp} = \frac{m^0 \times c_p \times (T_{in} - T_{out})}{A \times (T_b - T_w)} \quad (18)$$

برای جریان آرام کاملاً توسعه یافته با درجه حرارت ثابت در سطوح لوله عدد نوسلت از رابطه (۱۹) محاسبه می‌شود (Holman, 1989).

$$Nu = \frac{h D_H}{K} = 3.66 \quad (19)$$

در این رابطه  $D_H$  قطر هیدرولیکی است که از رابطه (۲۰) به دست می‌آید (Hussein et al., 2014).

$$D_H = \frac{4 \times [\frac{\pi}{4} d^2 + (D-d) \times d]}{\pi \times d + 2 \times (D-d)} \quad (20)$$

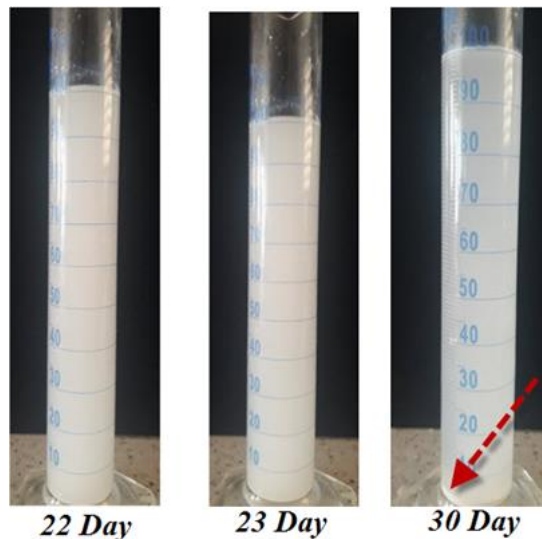
برای محاسبه عدد نوسلت موضعی در جریان متلاطم کاملاً توسعه یافته در لوله‌های صاف از تشابه چیلتون کولبرن می‌توان استفاده کرد. که در نهایت به شکل رابطه (۲۱) تحت عنوان رابطه کولبرن ساده می‌شود (Holman, 1989).

$$Nu = 0.023 Re^{\frac{4}{3}} Pr^{\frac{1}{3}} \quad (21)$$

$Nu$  عدد نوسلت،  $Re$  عدد رینولدز و  $Pr$  عدد پراتل است که توسط رابطه (۲۲) محاسبه شد.

$$Pr = \frac{c_p \mu}{k} \quad (22)$$

$Pr$  عدد پراتل،  $c_p$  گرمای ویژه در فشار ثابت،  $\mu$  ویسکوزیته دینامیکی و  $k$  ضریب هدایت حرارتی است. عدد رینولدز از رابطه (۲۳) به دست می‌آید.



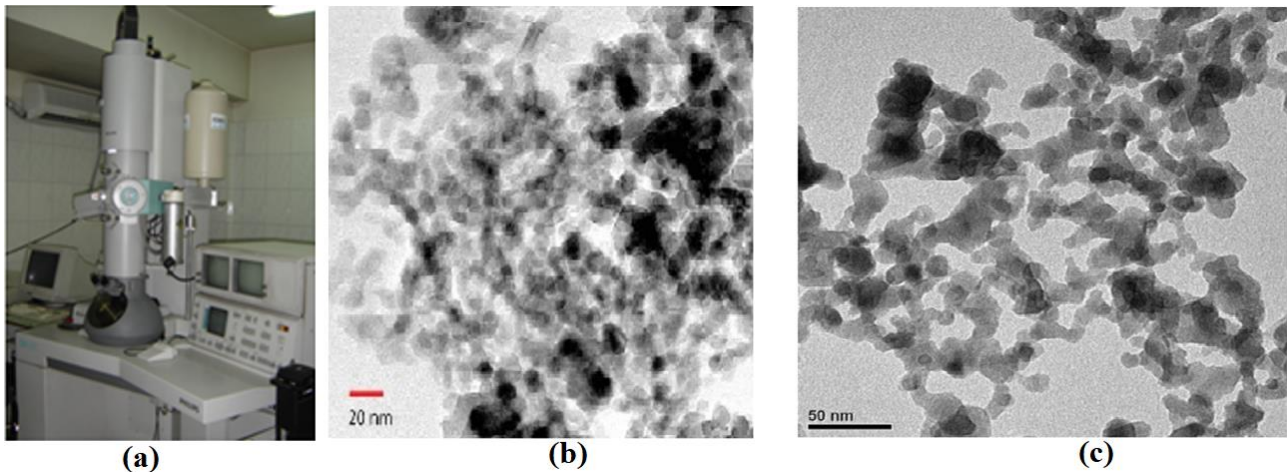
شکل ۵- آزمایش پایداری نانو سیال  $Al_2O_3$  (استفاده از هم‌زن برقی و تکان دهنده مغناطیسی به همراه سولفکتانت)

Fig.5. Nanofluid stability test  $Al_2O_3$  (Use electric stirrer and magnetic stirrer with sulfate)

مطالعات ریزساختاری مواد با قدرت تفکیک بالا و بزرگ‌نمایی خیلی زیاد را امکان‌پذیر می‌سازد. بعد از آماده‌سازی نمونه تصور TEM از نانوذرات تهیه گردید. تفاوت شکل ظاهری نانو ذرات ۲۰ nm و ۵۰ nm در شکل ۶ نشان داده شد.

### به‌دست آوردن ساختار مورفولوژی

برای به‌دست آوردن ساختار مورفولوژی نانوذرات از میکروسکوپ الکترونی عبوری (TEM) استفاده شد. این دستگاه ابزاری ویژه در مشخص نمودن ساختار و مورفولوژی مواد محسوب می‌شود که



شکل ۶- (a) دستگاه TEM، (b) تصویر TEM از نانو ذرات AL<sub>2</sub>O<sub>3</sub> (۲۰ nm)، (c) تصویر TEM از نانو ذرات AL<sub>2</sub>O<sub>3</sub> (۵۰ nm)

Fig.6. (a) TEM Device, (b) TEM image of AL<sub>2</sub>O<sub>3</sub> nanoparticles (20 nm), (c) TEM image of AL<sub>2</sub>O<sub>3</sub> nanoparticles (50 nm)

کسرهای حجمی صفر تا ۴ درصد مقادیر چگالی، گرمای ویژه، ویسکوزیته دینامیکی و ضریب هدایت حرارتی نانوسیال نسبت به سیال پایه به‌دست آمد. این مقادیر در جدول ۴ گزارش شده است.

به‌دست آوردن چگالی، گرمای ویژه، ویسکوزیته دینامیکی، نسبت ضریب هدایت حرارتی نانوسیال به سیال پایه، ضریب اصطکاک و ضریب اثربخشی در این قسمت ابتدا بر اساس روابط تخمینی ارائه شده برای

### جدول ۴- چگالی، گرمای ویژه، ویسکوزیته دینامیکی و ضریب هدایت حرارتی نانو سیال نسبت به سیال پایه

Table 4- Density, specific heat, viscosity and thermal conductivity of nanofluids compared to base fluid

ماکسول گارنت Maxwell-Garnett ( $K_{nf}/K_f$ )	$\mu$ ( $kg \cdot m^{-1} \cdot s^{-1}$ ) (T=30)	$c_p$ ( $Jkg^{-1}K^{-1}$ )	$\rho$ ( $kgm^{-3}$ )	درصد حجمی (%) Volumetric percentage
1	0.79	4179	997.1	0
1.03	0.77	4050	1026	1
1.061	0.75	3924	1056	2
1.092	0.73	3805	1086	3
1.124	0.71	3693	1116	4

(Masuda et al., 1993; Wang and Choi, 1999; Nguyen et al., 2008; Williams et al., 2008) و ماکسول-گارنت با منبع (Maxwell, 1904) مورد ارزیابی قرار گرفت. ضریب اصطکاک با افزایش کسر حجمی نانوذرات در سیال پایه افزایش و با افزایش عدد رینولدز کاهش یافت. همچنین با افزایش دبی و کسر حجمی ضریب

نتایج به‌دست آمده نشان می‌دهد در نانو سیال با ۴٪ کسر حجمی نسبت به ۱٪ کسر حجمی شاهد افزایش ۸/۷٪ چگالی، ۷/۷٪ ویسکوزیته دینامیکی و ۹/۱٪ ضریب هدایت حرارتی و همچنین کاهش ۸/۸٪ گرمای ویژه هستیم. مقادیر به‌دست آمده برای چگالی با منابع (Pak and Cho, 1998; Heyhat et al., 2012)، گرمای ویژه با منابع (Pak and Cho, 1998; Pandey

الکتروموتور یا فرکانس کاری آن مشخص شود (جدول ۵). در این مدل برای بررسی دبی از فلومتر مدل پیستونی *PD-SDC* استفاده شد.

در ادامه بر اساس اطلاعات جدول ۵ می‌توان نمودار سرعت الکتروموتور بر اساس فرکانس کاری را ترسیم نمود که بر اساس این نمودار می‌توان به صورت تقریبی دور الکتروموتور را زمانی که فرکانس کاری را توسط اینورتر اعمال می‌کنیم در دست داشته باشیم این نمودار در شکل ۷ آورده شده است.

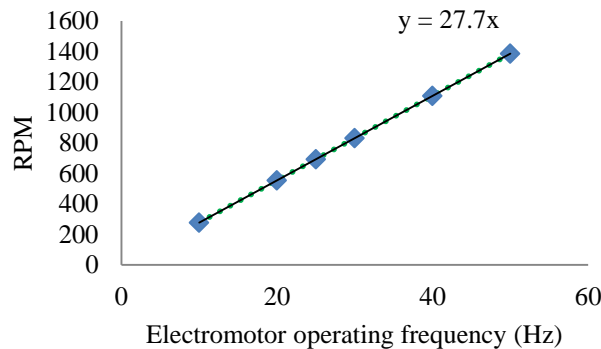
اثر بخشی رادیاتور افزایش را نشان داد. این موارد با منبع (Hussein, 2014) ارزیابی و تایید شد.

**بررسی انتقال حرارت در مدل آزمایشگاهی طراحی شده.**  
**اندازه‌گیری دبی سیال بر اساس فرکانس کاری الکتروموتور**  
به منظور بررسی مقدار انتقال حرارت در مدل آزمایشگاهی ساخته شده ابتدا نیاز است دبی سیال عبوری به صورت تقریبی بر اساس دور

**جدول ۵- اندازه‌گیری دبی سیال در فرکانس‌های کاری متفاوت الکتروموتور**

**Table 5- Measurement of fluid flow at different operating frequencies of the electromotor**

دبی (lit min <sup>-1</sup> Flow)	دور الکتروموتور Electromotor speed (RPM)	فرکانس کاری Operating frequency (HZ)
15.08	1385	50
11.9	1108	40
9.53	831	30
8.1	692.5	25
6.46	554	20
3.18	277	10



**شکل ۷- نمودار تعیین سرعت الکتروموتور بر اساس فرکانس کاری آن**

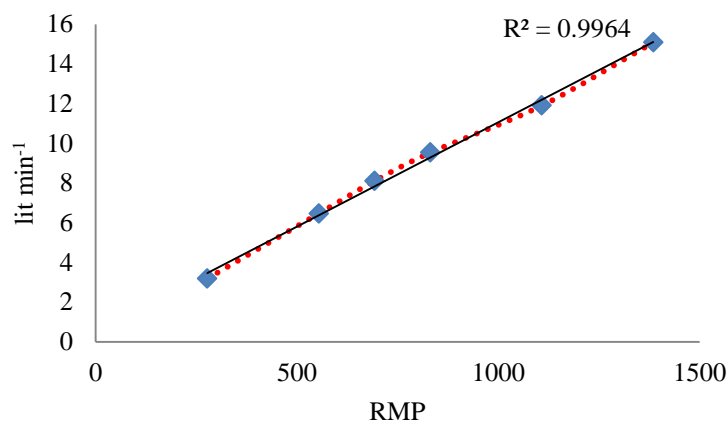
**Fig.7. Determination of electromotor speed based on its operating frequency**

باشد هوای بیشتری به بدنه مخزن برخورد نموده و انتقال حرارت جابه‌جایی اجباری بیشتری در آن انجام می‌شود. بنابراین بین ۱۰ دقیقه (زمانی که الکتروموتور خاموش است) تا حدوداً ۲۵ الی ۳۰ دقیقه (زمانی که الکتروموتور با سرعت حداکثر کار می‌کند) طول می‌کشد تا ترموستات برای اولین بار باز شود. در شکل ۱۰ بعد از این که سنسور قبل از ترموستات که می‌تواند دمای فعال و غیرفعال شدن ترموستات را گزارش کند به دمای حداکثر رسید. شروع به ترسیم نمودار برای دوره‌های مختلف الکتروموتور نمودیم (شکل ۹).

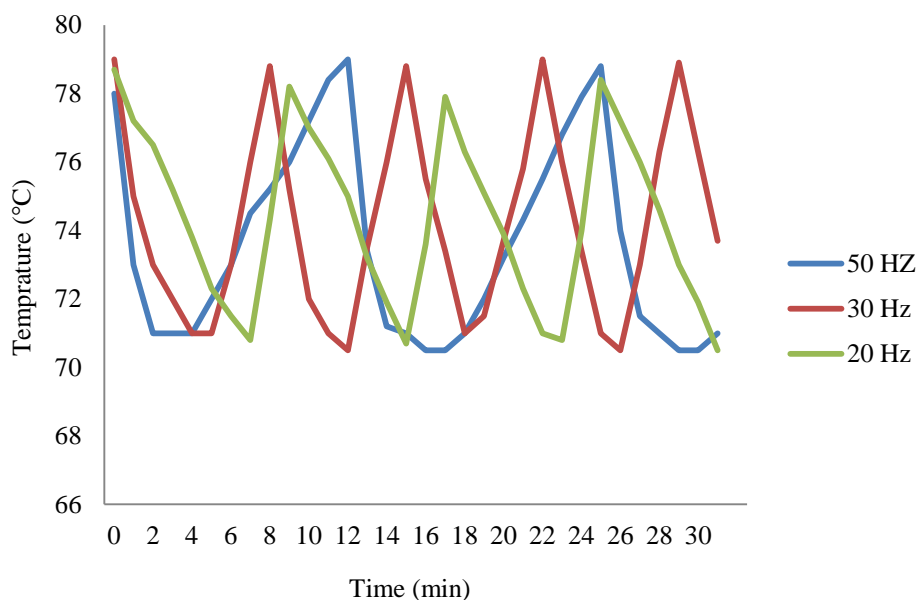
با این کار می‌توان دبی سیال در حال عبور از سیستم را بر اساس فرکانس کاری یا دور الکتروموتور حدس زد همچنین می‌توان بر اساس داده‌های جدول ۵، نمودار ۸ را ترسیم نمود. که در آن دبی سیال بر اساس سرعت الکتروموتور تعیین می‌شود.

### بررسی دمای باز و بسته شدن ترموستات در دوره‌های مختلف الکتروموتور

در هنگام آزمایش با توجه به دور الکتروموتور زمان اولین باز شدن ترموستات تغییر پیدا می‌کند. چون هرچه قدر سرعت الکتروموتور زیاد



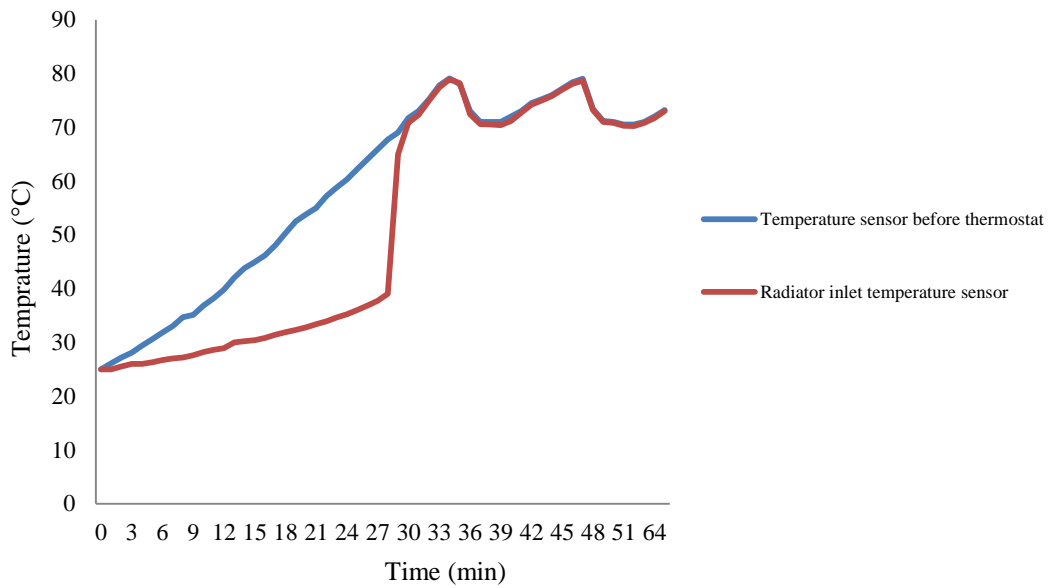
شکل ۸- نمودار تعیین دبی سیال بر اساس سرعت الکتروموتور  
**Fig.8.** Fluid flow chart based on electromotor speed



شکل ۹- بررسی دمای باز و بسته شدن ترموستات با سه دور مختلف الکتروموتور  
**Fig.9.** Evaluation of opening and closing temperature of the thermostat with three different electromotor circuits

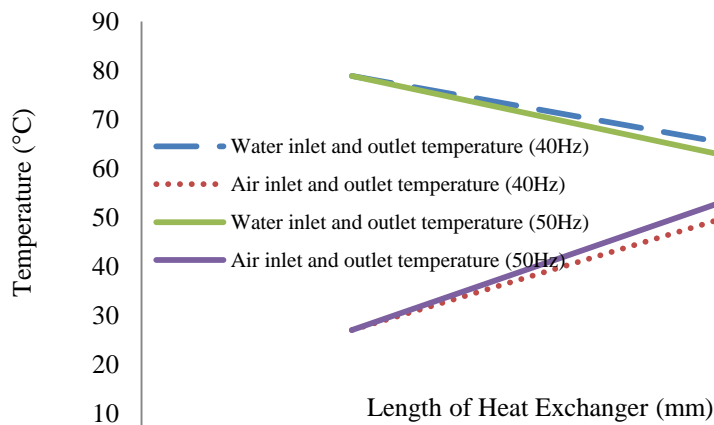
حداکثر با شیب کندتری اتفاق می‌افتد. با کاهش سرعت این عملیات برعکس می‌شود. یعنی شیب نمودار بسته شدن بیشتر و فرآیند باز شدن حداکثر ترموستات در زمان کمتری اتفاق می‌افتد. در ادامه سرعت الکتروموتور در حالت حداکثر قرار داده (فرکانس کاری ۵۰ HZ) و دمای سنسورهای قبل ترموستات، ورودی و خروجی رادیاتور در مدل آزمایشگاهی بررسی شده است (شکل ۱۰).

زمانی که سرعت الکتروموتور زیاد است اولاً سیال خنک‌کننده با سرعت بیشتری عبور نموده و دوماً سیال هوا با سرعت بیشتری انتقال حرارت اجباری را انجام می‌دهد. هرچه قدر سرعت الکتروموتور زیاد باشد سرعت خنک شدن سیال سریع‌تر و در نتیجه سرعت بسته شدن سریع‌تر (شیب نمودار نزولی از حداکثر دما به حداقل دما تندتر) می‌باشد. همچنین با باز شدن ترموستات زمان رسیدن به دمای



شکل ۱۰- بررسی دمای سنسورهای قبل ترموستات، ورودی و خروجی رادیاتور در مدل آزمایشگاهی طراحی شده

Fig.10. Evaluation of sensors temperature before the thermostat, radiator inlet and outlet in the designed laboratory model



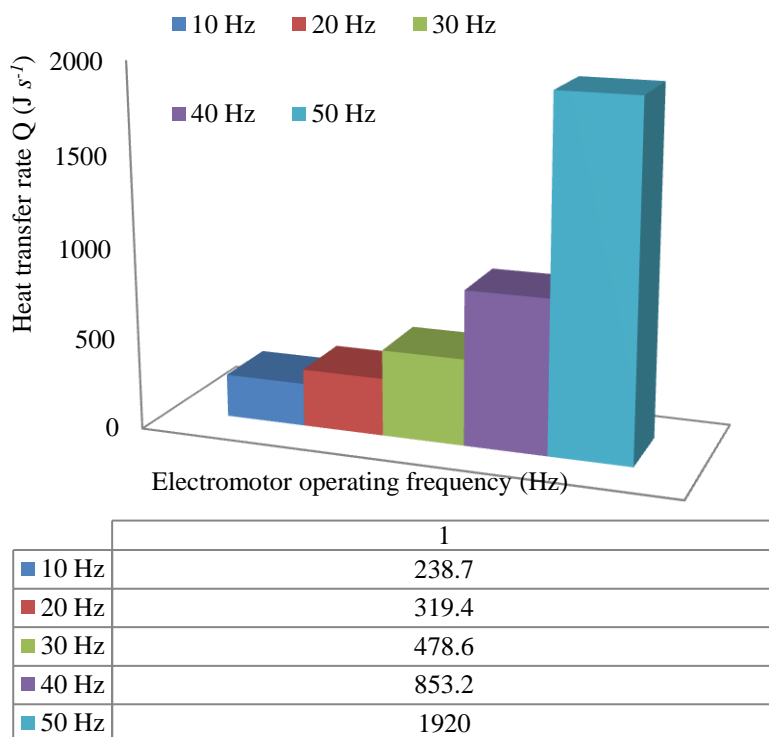
	1	2
Water inlet and outlet temperature (40Hz)	78.9	63.5
Air inlet and outlet temperature (40Hz)	27	52.8
Water inlet and outlet temperature (50Hz)	78.9	60.6
Air inlet and outlet temperature (50Hz)	27	56.7

شکل ۱۱- تغییرات دما در طول رادیاتور در دوره‌های 40 Hz و 50 Hz

Fig.11. Temperature changes during the radiator length in 40 Hz and 50 Hz cycles

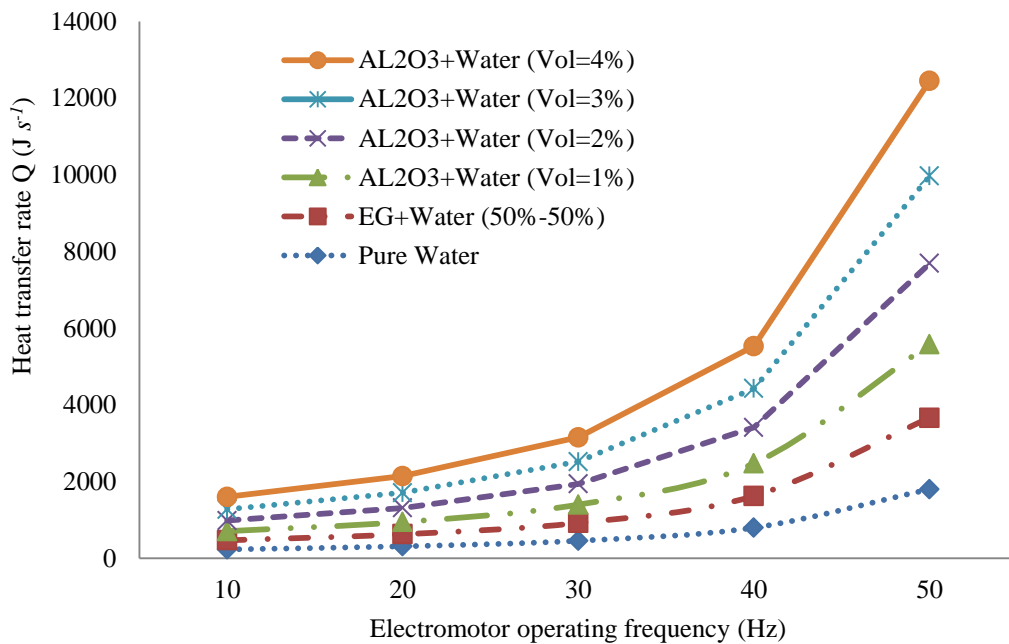
روی سنسور خروجی تاثیر می‌گذارد. با شروع باز شدن ترموستات دمای ورودی رادیاتور یک افزایش سریع و با شیب تند را دریافت نموده و دمای خود را به دمای سنسور قبل ترموستات می‌رساند. از این لحظه به بعد دمای این دو سنسور تقریباً با هم برابر بوده و اختلاف آن‌ها کمتر از یک درجه سانتی‌گراد می‌شود. همچنین با عبور سیال گرم از رادیاتور دمای سنسور خروجی نیز با شیب تندی افزایش یافته و سپس با رسیدن به دمای حداکثر خود با الگوی مناسبی از سنسور دمای ورودی تبعیت می‌کند. اختلاف دمای بین این دو سنسور در مواقعی که ترموستات باز بوده و سیال از رادیاتور عبور می‌کند به‌طور متوسط بین ۱۲ الی ۱۵ درجه سانتی‌گراد برآورد شد. تغییرات دمای هوا و سیال خنک‌کننده آب در طول رادیاتور در دوره‌های ۴۰ Hz و ۵۰ Hz الکتروموتور مورد بررسی قرار گرفت و نتایج در نمودار شکل ۱۱ گزارش گردید.

با شروع آزمایش با توجه به بسته بودن ترموستات دمای سنسور قبل از ترموستات با یک شیب تقریباً خطی افزایش پیدا می‌کند. تند بودن یا کند بودن این شیب به توان حرارتی تولید شده المنت‌های حرارتی بستگی دارد. تا قبل از باز شدن ترموستات سنسور بعد از ترموستات تغییرات دمایی کمی را دارد. افزایش دمای کمی که در سنسور ورودی رادیاتور قبل از باز شدن ترموستات ملاحظه می‌شود به خاطر عبور سیال از سوراخ تعبیه شده بر روی ترموستات است و در ضمن هرچه قدر دما افزایش پیدا می‌کند جیوه داخل مخزن ترموستات افزایش حجم پیدا کرده و به فنر ترموستات فشار وارد می‌کند و کوچک‌ترین فشاری می‌تواند باعث باز شدن قسمتی از ترموستات و نهایتاً عبور مقداری از سیال خنک‌کننده شود. در این میان سنسور دمای خروجی ترموستات از دمای اولیه هم کمی کمتر را نشان می‌دهد. چون هیچ جریانی با توجه به بسته بودن ترموستات از رادیاتور عبور نکرده و از طرفی چون سیال داخل رادیاتور در حال خنک شدن توسط هوا می‌باشد. دمای داخل رادیاتور کم شده و بر



شکل ۱۲- تاثیر سرعت الکتروموتور بر میزان نرخ انتقال حرارت (در یک درصد حجمی نانو ذرات)

Fig.12. The effect of electromotor speed on heat transfer rate (In one percentage by volume of nanoparticles)



شکل ۱۳- تاثیر سرعت الکتروموتور بر میزان نرخ انتقال حرارت

Fig.13. The effect of electromotor speed on heat transfer rate

به صورت تجربی مورد آزمایش قرار گرفت. سرعت جریان سیال خنک کننده توسط دی سنج پیستونی PD-SDC از ۱۸/۳ تا ۰/۸/۱۵ لیتر در دقیقه و سرعت جریان هوا توسط فلومتر جریان هوا مدل KIMO LV130 از ۲/۳ تا ۴/۶ متر بر ثانیه اندازه گیری شد. نتایج به دست آمده نشان می دهد در حداکثر مقدار سرعت جریان هوا و سیال خنک کننده با افزودن ۴ درصد حجمی نانوذرات به سیال پایه می توان نرخ انتقال حرارت را به طور متوسط ۳۷ درصد نسبت به سیال پایه افزایش می یابد (شکل ۱۴).

#### ضریب انتقال حرارت جابه جایی

در این آزمایش دمای هوای خنک کننده ۲۷ درجه سانتی گراد و اختلاف دمای سیال خنک کننده در قسمت ورودی و خروجی رادیاتور حداکثر مقدار بود. ضریب انتقال حرارت جابه جایی در نانو سیالات با توجه به سرعت جریان و جزء حجمی نانو ذرات تغییر کرده و در صورت وجود شرایط یکسان بیشتر از مقدار مشابه در سیال پایه می باشد (شکل ۱۵).

به طور مثال در مقایسه با آب، نانو سیال حاوی ۴٪ حجمی از  $Al_2O_3$  در دور حداکثر دارای افزایش ۲۸ درصدی در ضریب انتقال حرارت جابه جایی است. همچنین با افزایش دور الکتروموتور از ۲۰ Hz به ۴۰ Hz ضریب انتقال حرارت آب خالص به طور متوسط ۲۶٪ و نانو سیال ۲۹٪ افزایش را نشان می دهد.

نتایج نشان می دهد با افزایش سرعت الکتروموتور از ۴۰ Hz به ۵۰ Hz دمای سیال خنک کننده آب در قسمت خروجی به مقدار ۴/۷ درجه سانتی گراد خنک تر شده و دمای هوای در قسمت خروجی ۷/۳ درجه سانتی گراد گرم تر می شود.

#### تاثیر سرعت الکتروموتور بر نرخ انتقال حرارت

در این آزمایش ترموستات از روی سیستم برداشته شد. تا سیال بدون محدودیت در سیکل دوران داشته باشد. برای حالتی که مقدار نانوذرات یک درصد حجمی می باشد و برای حداکثر اختلاف دمای ورودی و خروجی رادیاتور (۱۵ درجه) مقادیر نرخ انتقال حرارت محاسبه و در نمودار ۱۲ نشان داده شد. نتایج نشان می دهد با افزایش سرعت الکتروموتور از ۱۰ Hz به ۲۰ Hz نرخ انتقال حرارت به طور متوسط ۳۳ درصد افزایش می یابد.

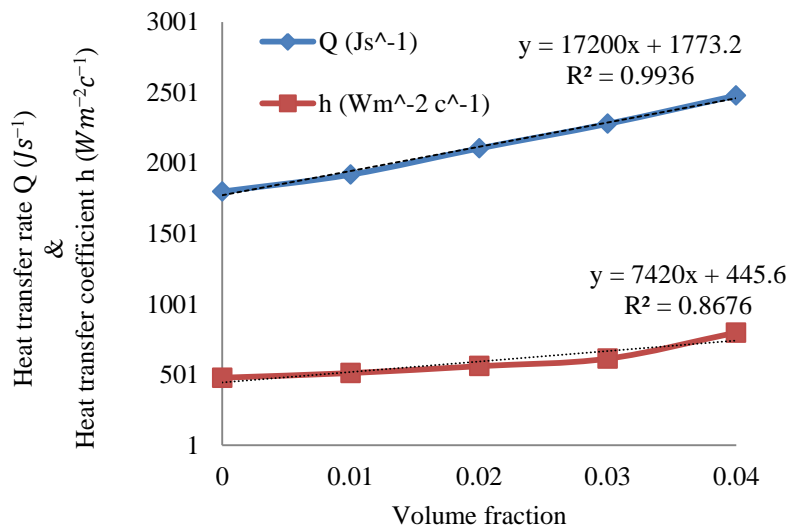
در شکل ۱۳ نرخ انتقال حرارت برای سیال پایه آب و نانو سیال با کسر حجمی مختلف ترسیم شد.

نتایج نشان می دهد در دور حداکثر الکتروموتور، زمانی که کسر حجمی نانو ذرات ۴ درصد است نسبت به زمانی که یک درصد می باشد نرخ انتقال حرارت متوسط ۲۹ درصد بیشتر می شود.

#### تاثیر کسر حجمی نانو ذرات بر نرخ انتقال حرارت

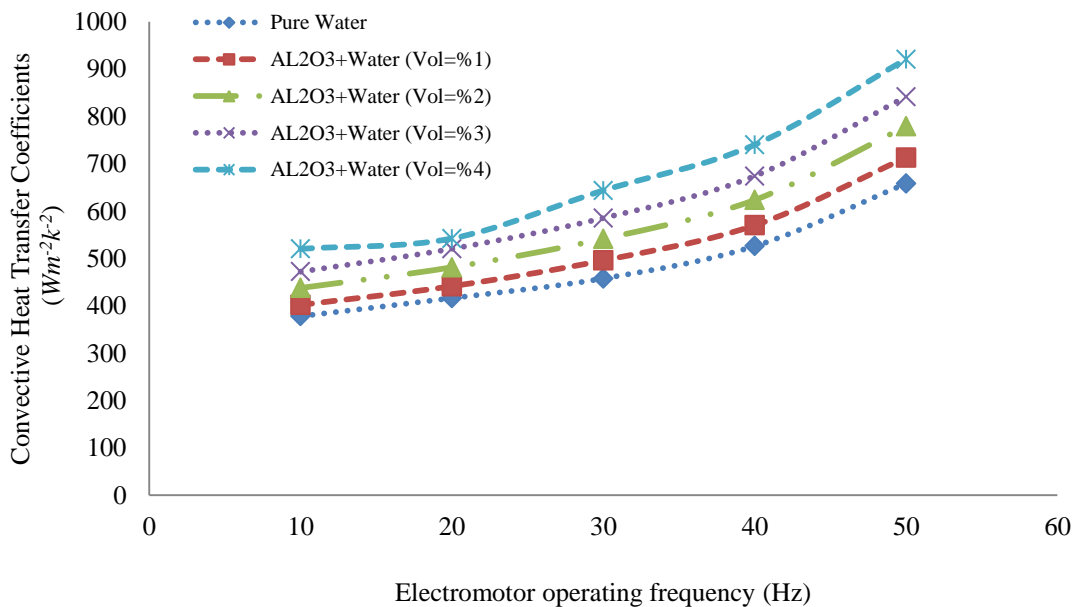
افزایش انتقال حرارت در رادیاتور با استفاده از نانوذرات  $Al_2O_3$  به قطر ۲۰ nm در سیال پایه آب با درصدهای حجمی ۱، ۲، ۳ و ۴





شکل ۱۴ - تاثیر درصد حجمی نانو ذرات بر نرخ انتقال حرارت و ضریب انتقال حرارت جابه‌جایی

Fig.14. The effect of volume percentage of nanoparticles on heat transfer rate and heat transfer coefficient



شکل ۱۵ - تاثیر افزایش سرعت الکتروموتور بر روی ضریب انتقال حرارت جابه‌جایی در درصد حجمی‌های مختلف

Fig.15. The effect of increasing the motor speed on the displacement heat transfer coefficient in different volume percentages

۹/۱٪ ضریب هدایت حرارتی و همچنین کاهش ۸/۸٪ گرمای ویژه شد. حداکثر اختلاف دمای بین سنسور ورودی و خروجی رادیاتور زمانی که ترموستات باز است و سیال خنک‌کننده از داخل رادیاتور جریان دارد ۱۲ الی ۱۵ درجه سانتی‌گراد به‌دست آمد. با افزایش

### نتیجه‌گیری

نتایج نشان داد در نانو سیال با ۴٪ کسر حجمی نسبت به ۱٪ کسر حجمی افزایش ۸/۷٪ چگالی، ۷/۷٪ ویسکوزیته دینامیکی و

افزایش ۲۸ درصدی در ضریب انتقال حرارت جابه‌جایی است. همچنین با افزایش دور الکتروموتور از ۲۰ Hz به ۴۰ Hz ضریب انتقال حرارت آب خالص به‌طور متوسط ۲۶٪ و نانو سیال ۲۹٪ افزایش را نشان می‌دهد. وجود نانوسیال در سیستم خنک‌کننده موتور باعث افزایش انتقال حرارت از رادیاتور شده و با وجود این خصوصیت، اندازه و وزن رادیاتور می‌تواند کاهش یابد بدون این‌که بر عملکرد انتقال حرارت آن تأثیر بگذارد.

سرعت الکتروموتور از ۴۰ Hz به ۵۰ Hz دمای سیال خنک‌کننده آب در قسمت خروجی به مقدار ۴/۷ درجه سانتی‌گراد خنک‌تر شده و دمای هوای در قسمت خروجی ۷/۳ درجه سانتی‌گراد گرم‌تر می‌شود. با افزایش سرعت الکتروموتور نرخ انتقال حرارت افزایش می‌یابد در حداکثر مقدار سرعت جریان هوا و سیال خنک‌کننده با افزودن ۴ درصد حجمی نانوذرات به سیال پایه می‌توان نرخ انتقال حرارت را به‌طور متوسط ۳۷ درصد نسبت به سیال پایه افزایش داد. در مقایسه با آب، نانوسیال حاوی ۴٪ حجمی از  $Al_2O_3$  در دور حداکثر دارای

## References

- Bahiraei, M., S. M. Hosseinalipour, K. Zabihi and E. Taheran. 2012. Using neural network for determination of viscosity in water-TiO<sub>2</sub> nanofluid. *Advances in Mechanical Engineering* 4: 1-10. <https://doi.org/10.1155/2012/742680>.
- Bozorg Bigdeli, M., M. Fasano, A. Cardellini, E. Chiavazzo, and P. Asinari. 2016. A review on the heat and mass transfer phenomena in nanofluid coolants with special focus on automotive applications. *Renewable and Sustainable Energy Reviews* 60: 1615-1633. <https://doi.org/10.1016/j.rser.2016.03.027>.
- Chiou, J. P. 1980. The effect of the flow nonuniformity on the sizing of the engine radiator. SAE paper no.800035, Society of Automotive Engineers 91: 250-260. DOI: <https://doi.org/10.4271/800035>.
- Choi, S. U. S. 1995. Enhancing thermal conductivity of fluids with nanoparticles. *International Mechanical Engineering Congress & Exposition (ASME)* 66: 99-105.
- Das, S. K., N. Putra, P. Thiesen, and W. Roetzel. 2003. Temperature dependence of thermal conductivity enhancement for nanofluids. *Journal of Heat Transfer* 125 (4): 567-574. <https://doi.org/10.1115/1.1571080>.
- Das, S., S. Choi, and H. Patel. 2006. Heat transfer in nanofluids – a review. *Heat Transfer Engineering* 27 (10): 3-19. <https://doi.org/10.1080/01457630600904593>.
- Einstein, A. 1906. Eine neue bestimmung der moleküldimensionen. *Annalen der Physik* 324 (2): 289-306. <https://doi.org/10.1002/andp.19063240204>.
- Fan, X., H. Chen, Y. Ding, P. K. Plucinski, and A. A. Lapkin. 2008. Potential of 'nanofluids' to further intensify microreactors. *Green Chemistry* 10 (6): 670-677.
- Ghadimi, A., and I. H. Metselaar. 2013. The influence of surfactant and ultrasonic processing on improvement of stability, thermal conductivity and viscosity of titania nanofluid. *Experimental Thermal and Fluid Science* 51: 1-9. <https://doi.org/10.1016/j.expthermflusci.2013.06.001>.
- Gifford, N. L., A. G. Hunt, E. Savory, and R. J. Martinuzzi. 2006. Experimental study of low-pressure automotive cooling fan Aerodynamics under blocked Conditions. *Canadian Society for Mechanical Engineering* 1: 1-8.
- Heydarbeigi, G. 2017. Investigation of the effect of using copper nanofluid, silver nanofluid and aluminum oxide on the heat transfer rate of Ferguson 285 copper tractor engine radiator. *First International Conference on Applied Research in Agricultural Sciences, Natural Resources and Environment*. <https://civilica.com/doc/673996>.
- Heyhat, M. M., F. Kowsary, A. M. Rashidi., S. Alem Varzane Esfehiani, and A. Amrollahi. 2012. Experimental investigation of turbulent flow and convective heat transfer characteristics of alumina water nanofluids in fully developed flow regime. *International Communication in Heat and Mass Transfer* 39 (8): 1272-1278. <https://doi.org/10.1016/j.icheatmasstransfer.2012.06.024>.
- Hussein, A. M., R. A. Bakar, and K. Kadrigama. 2014. Study of forced convection nanofluid heat transfer in the automotive cooling system. *Case Studies Thermal Engineering* 2: 50-61. <https://doi.org/10.1016/j.csite.2013.12.001>.
- Holman, J. P. 1989. *Heat Transfer*. McGraw-Hill Book Co., New York.
- Kong, L., J. Sun, and Y. Bao. 2017. Preparation, characterization and tribological mechanism of nanofluids. *Royal Society of Chemistry Advances* 7: 12599-12609. <https://doi.org/10.1039/C6RA28243A>.
- Kouloulis, K., A. Sergis, and Y. Hardalupas. 2016. Sedimentation in nanofluids during a natural convection experiment. *International Journal of Heat and Mass Transfer* 101: 1193-1203. <https://doi.org/10.1016/j.ijheatmasstransfer.2016.05.113>.
- Leong, K. Y., R. Saidur, S. N. Kazi, and A. H. Mamun. 2010. Performance investigation of an automotive car radiator operated with nanofluid-based coolants (nanofluid as a coolant in a radiator). *Applied Thermal Engineering* 30: 2685-2692. <https://doi.org/10.1016/j.applthermaleng.2010.07.019>.

18. Masuda, H., A. Ebata, and K. Teramae. 1993. Alteration of thermal conductivity and viscosity of liquid by dispersing ultra-fine particles. Dispersion of Al<sub>2</sub>O<sub>3</sub>, SiO<sub>2</sub> and TiO<sub>2</sub> ultra-fine particles. *Netsu Bussei* 7: 227-233.
19. Maxwell, J. C. 1891. *A Treatise on Electricity and Magnetism*. Clarendon Press, Oxford, UK.
20. Maxwell Garnett, J. 1904. Colours in metal glasses and in metallic films. *Philosophical Transactions the Royal Society* 203: 385-420. <https://doi.org/10.1098/rsta.1904.0024>.
21. Morris, S. C., J. J. Goad, and J. F. Fess. 1998. Velocity measurements in the wake of an automotive cooling fan. *Experimental Thermal and Fluid Science* 7: 100-106. [https://doi.org/10.1016/S0894-1777\(97\)10054-1](https://doi.org/10.1016/S0894-1777(97)10054-1).
22. Nguyen, C., F. Desgranges, G. Roy, N. Galanis, T. Mare, S. Boucher, and H. A. Mintsas. 2008. Viscosity data for Al<sub>2</sub>O<sub>3</sub>-water nanofluid-hysteresis: is heat transfer enhancement using nanofluids reliable?. *International Journal of Thermal Sciences* 47 (2): 103-111. <https://doi.org/10.1016/j.ijthermalsci.2007.01.033>.
23. Nisar, K. S., D. Khan, A. Khan, W. A. Khan, I. Khan, and A. M. Aldawsari. 2019. Entropy Generation and Heat Transfer in Drilling Nanoliquids with Clay Nanoparticles. *Entropy* 21 (12): 1226. <https://doi.org/10.3390/e21121226>.
24. Oliet, C., A. Oliva, J. Castro, and C. D. Pe´rez-Segarra. 2007. Parametric studies on automotive radiators. *Applied Thermal Engineering* 27: 2033-2043. <https://doi.org/10.1016/j.applthermaleng.2006.12.006>.
25. Pak, B. C., and Y. I. Cho. 1998. Hydraulic and heat transfer study of dispersed fluids with submicron metallic oxide particles. *Experimental Heat Transfer* 11 (2): 151-170. <https://doi.org/10.1080/08916159808946559>.
26. Pandey, S. D., and V. K. Nema. 2012. Experimental analysis of heat transfer and friction factor of nanofluid as a coolant in a corrugated plate heat exchanger. *Experimental Thermal and Fluid Science* 38: 248-256. <https://doi.org/10.1016/j.expthermflusci.2011.12.013>.
27. Pecora, R. 1985. *Dynamic Light Scattering. Applications of Photon Correlation Spectroscopy*. Springer.
28. Peyghambarzadeh, S. M., S. H. Hashemabadi, M. Seiji Jamnani, and S. M. Hoseini. 2011 a. Improving the cooling performance of automobile radiator with Al<sub>2</sub>O<sub>3</sub>/water nanofluid. *Applied Thermal Engineering* 31 (10): 1833-1838. <https://doi.org/10.1016/j.applthermaleng.2011.02.029>.
29. Peyghambarzadeh, S. M., S. H. Hashemabadi, S. M. Hoseini, and M. Seiji Jamnani. 2011 b. Experimental study of heat transfer enhancement using water/ethylene glycol based nanofluids as a new coolant for car radiators. *International Communications in Heat and Mass Transfer* 38 (9): 1283-1290. <https://doi.org/10.1016/j.icheatmasstransfer.2011.07.001>.
30. Raja, M., R. Vijayan, P. Dineshkumar, and M. Venkatesan. 2016. Review on nanofluids characterization, heat transfer characteristics and applications. *Renewable and Sustainable Energy Reviews* 64: 163-173. <https://doi.org/10.1016/j.rser.2016.05.079>.
31. Sabralilou, B., A. Mohebbi, E. Akbarian, and A. Rezvanivand fanaei. 2020. Aero-acoustical study of axial fan using computational fluid dynamics. *Journal of Agricultural Machinery* 10 (2): 255-264. (In Persian). DOI: [10.22067/jam.v10i2.74963](https://doi.org/10.22067/jam.v10i2.74963).
32. Turgut, A., I. Tavman, M. Chirtoc, H. P. Schuchmann, C. Sauter, and S. Tavman. 2009. Thermal conductivity and viscosity measurements of waterbased TiO<sub>2</sub> nanofluids. *International Journal of Thermophysics* 30 (4): 1213-1226.
33. Xiang-Qi, W., and A. Mujumdar, S. 2008. A review on nanofluids- Part I: theoretical and numerical investigations. *Brazilian Journal of Chemical Engineering* 25 (4): 613-630. <https://doi.org/10.1590/S0104-66322008000400001>.
34. Wang, X., X. Xu, S. U. S. Choi. 1999. Thermal conductivity of nanoparticle-fluid mixture. *Journal of Thermophysics and Heat Transfer* 13: 474-480. <https://doi.org/10.2514/2.6486>.
35. Wen, D., G. Lin, and S. Vafaei. 2009. Review of nanofluids for heat transfer applications. *Particuology* 7: 141-150. <https://doi.org/10.1016/j.partic.2009.01.007>.
36. White, F. M. 2002. *Fluid Mechanics*, McGraw-Hill; 5th ed.
37. Williams, W. C., J. Buongiorno, and W. L. Hu. 2008. Experimental investigation of turbulent convective heat transfer and pressure loss of alumina/water and zirconia/water nanoparticle colloids (nanofluids) in horizontal tubes. *Journal of Heat Transfer* 130 (4): 042412. <https://doi.org/10.1115/1.2818775>.
38. Wong, K. V., and O. D. Leon. 2010. Applications of nanofluids. Current and future. *Advances in Mechanical Engineering* Article ID 519659: 1-11. <https://doi.org/10.1155/2010/519659>.
39. Yiamsawas, T., A. S. Dalkilic, O. Mahian, and A. Wongwises. 2013. Measurement and correlation of the viscosity of waterbased Al<sub>2</sub>O<sub>3</sub> and TiO<sub>2</sub> nanofluids in high temperatures and comparisons with literature reports. *Journal of Dispersion Science and Technology* 34 (12): 1697-1703. <https://doi.org/10.1080/01932691.2013.764483>.